

# Starkniederschlagshöhen und -spenden gemäß KOSTRA-DWD-2020

## Rasterfeld 132197

(Zeile 132, Spalte 197)

### Regenspende und Bemessungsniederschlagswerte in Abhängigkeit von Wiederkehrzeit T und Dauerstufe D

| Dauerstufe D |     | Wiederkehrzeit T |            |      |            |      |            |      |            |       |            |       |            |       |            |       |            |       |            |
|--------------|-----|------------------|------------|------|------------|------|------------|------|------------|-------|------------|-------|------------|-------|------------|-------|------------|-------|------------|
|              |     | 1 a              |            | 2 a  |            | 3 a  |            | 5 a  |            | 10 a  |            | 20 a  |            | 30 a  |            | 50 a  |            | 100 a |            |
| min          | Std | mm               | l / (s ha) | mm   | l / (s ha) | mm   | l / (s ha) | mm   | l / (s ha) | mm    | l / (s ha) | mm    | l / (s ha) | mm    | l / (s ha) | mm    | l / (s ha) | mm    | l / (s ha) |
| 5            |     | 6,7              | 223,3      | 8,6  | 286,7      | 9,7  | 323,3      | 11,2 | 373,3      | 13,3  | 443,3      | 15,5  | 516,7      | 17,0  | 566,7      | 18,9  | 630,0      | 21,6  | 720,0      |
| 10           |     | 9,1              | 151,7      | 11,5 | 191,7      | 13,1 | 218,3      | 15,1 | 251,7      | 18,0  | 300,0      | 20,9  | 348,3      | 22,9  | 381,7      | 25,4  | 423,3      | 29,1  | 485,0      |
| 15           |     | 10,5             | 116,7      | 13,4 | 148,9      | 15,1 | 167,8      | 17,5 | 194,4      | 20,8  | 231,1      | 24,3  | 270,0      | 26,5  | 294,4      | 29,5  | 327,8      | 33,7  | 374,4      |
| 20           |     | 11,6             | 96,7       | 14,7 | 122,5      | 16,7 | 139,2      | 19,2 | 160,0      | 22,9  | 190,8      | 26,7  | 222,5      | 29,2  | 243,3      | 32,4  | 270,0      | 37,1  | 309,2      |
| 30           |     | 13,1             | 72,8       | 16,7 | 92,8       | 18,9 | 105,0      | 21,8 | 121,1      | 25,9  | 143,9      | 30,2  | 167,8      | 33,0  | 183,3      | 36,7  | 203,9      | 42,0  | 233,3      |
| 45           |     | 14,7             | 54,4       | 18,7 | 69,3       | 21,2 | 78,5       | 24,4 | 90,4       | 29,1  | 107,8      | 33,9  | 125,6      | 37,1  | 137,4      | 41,2  | 152,6      | 47,2  | 174,8      |
| 60           | 1   | 15,9             | 44,2       | 20,2 | 56,1       | 22,9 | 63,6       | 26,4 | 73,3       | 31,5  | 87,5       | 36,7  | 101,9      | 40,1  | 111,4      | 44,6  | 123,9      | 51,0  | 141,7      |
| 90           | 1,5 | 17,7             | 32,8       | 22,5 | 41,7       | 25,5 | 47,2       | 29,4 | 54,4       | 35,0  | 64,8       | 40,9  | 75,7       | 44,7  | 82,8       | 49,6  | 91,9       | 56,8  | 105,2      |
| 120          | 2   | 19,1             | 26,5       | 24,2 | 33,6       | 27,4 | 38,1       | 31,7 | 44,0       | 37,7  | 52,4       | 44,0  | 61,1       | 48,1  | 66,8       | 53,4  | 74,2       | 61,1  | 84,9       |
| 180          | 3   | 21,1             | 19,5       | 26,8 | 24,8       | 30,4 | 28,1       | 35,1 | 32,5       | 41,8  | 38,7       | 48,7  | 45,1       | 53,2  | 49,3       | 59,2  | 54,8       | 67,7  | 62,7       |
| 240          | 4   | 22,7             | 15,8       | 28,8 | 20,0       | 32,6 | 22,6       | 37,7 | 26,2       | 44,9  | 31,2       | 52,3  | 36,3       | 57,2  | 39,7       | 63,6  | 44,2       | 72,7  | 50,5       |
| 360          | 6   | 25,1             | 11,6       | 31,9 | 14,8       | 36,1 | 16,7       | 41,6 | 19,3       | 49,6  | 23,0       | 57,8  | 26,8       | 63,2  | 29,3       | 70,2  | 32,5       | 80,4  | 37,2       |
| 540          | 9   | 27,7             | 8,5        | 35,2 | 10,9       | 39,8 | 12,3       | 45,9 | 14,2       | 54,7  | 16,9       | 63,8  | 19,7       | 69,8  | 21,5       | 77,5  | 23,9       | 88,7  | 27,4       |
| 720          | 12  | 29,7             | 6,9        | 37,7 | 8,7        | 42,7 | 9,9        | 49,2 | 11,4       | 58,7  | 13,6       | 68,4  | 15,8       | 74,8  | 17,3       | 83,1  | 19,2       | 95,1  | 22,0       |
| 1080         | 18  | 32,7             | 5,0        | 41,6 | 6,4        | 47,1 | 7,3        | 54,3 | 8,4        | 64,7  | 10,0       | 75,5  | 11,7       | 82,5  | 12,7       | 91,7  | 14,2       | 104,9 | 16,2       |
| 1440         | 24  | 35,1             | 4,1        | 44,6 | 5,2        | 50,5 | 5,8        | 58,2 | 6,7        | 69,4  | 8,0        | 80,9  | 9,4        | 88,4  | 10,2       | 98,3  | 11,4       | 112,5 | 13,0       |
| 2880         | 48  | 41,4             | 2,4        | 52,7 | 3,0        | 59,6 | 3,4        | 68,8 | 4,0        | 82,0  | 4,7        | 95,6  | 5,5        | 104,5 | 6,0        | 116,1 | 6,7        | 132,9 | 7,7        |
| 4320         | 72  | 45,7             | 1,8        | 58,1 | 2,2        | 65,7 | 2,5        | 75,8 | 2,9        | 90,4  | 3,5        | 105,4 | 4,1        | 115,2 | 4,4        | 128,0 | 4,9        | 146,5 | 5,7        |
| 5760         | 96  | 48,9             | 1,4        | 62,2 | 1,8        | 70,4 | 2,0        | 81,3 | 2,4        | 96,8  | 2,8        | 112,9 | 3,3        | 123,4 | 3,6        | 137,2 | 4,0        | 156,9 | 4,5        |
| 7200         | 120 | 51,6             | 1,2        | 65,6 | 1,5        | 74,3 | 1,7        | 85,7 | 2,0        | 102,2 | 2,4        | 119,1 | 2,8        | 130,2 | 3,0        | 144,7 | 3,3        | 165,6 | 3,8        |
| 8640         | 144 | 53,9             | 1,0        | 68,6 | 1,3        | 77,6 | 1,5        | 89,6 | 1,7        | 106,7 | 2,1        | 124,4 | 2,4        | 136,0 | 2,6        | 151,2 | 2,9        | 173,0 | 3,3        |
| 10080        | 168 | 56,0             | 0,9        | 71,2 | 1,2        | 80,6 | 1,3        | 92,9 | 1,5        | 110,8 | 1,8        | 129,1 | 2,1        | 141,2 | 2,3        | 156,9 | 2,6        | 179,5 | 3,0        |

# Starkniederschlagshöhen und -spenden gemäß KOSTRA-DWD-2020

## Rasterfeld 132197

(Zeile 132, Spalte 197)

### Örtliche Unsicherheiten in Abhängigkeit von Wiederkehrzeit T und Dauerstufe D

| Dauerstufe D |     | Wiederkehrzeit T |     |     |     |      |      |      |      |       |
|--------------|-----|------------------|-----|-----|-----|------|------|------|------|-------|
|              |     | 1 a              | 2 a | 3 a | 5 a | 10 a | 20 a | 30 a | 50 a | 100 a |
| min          | Std | ± %              | ± % | ± % | ± % | ± %  | ± %  | ± %  | ± %  | ± %   |
| 5            |     | 12               | 12  | 12  | 13  | 13   | 14   | 14   | 15   | 15    |
| 10           |     | 13               | 15  | 16  | 17  | 18   | 19   | 19   | 20   | 20    |
| 15           |     | 15               | 17  | 18  | 19  | 20   | 21   | 22   | 22   | 23    |
| 20           |     | 16               | 19  | 20  | 21  | 22   | 23   | 23   | 24   | 24    |
| 30           |     | 18               | 20  | 21  | 22  | 23   | 24   | 25   | 25   | 26    |
| 45           |     | 18               | 21  | 22  | 23  | 24   | 25   | 26   | 26   | 27    |
| 60           | 1   | 18               | 21  | 22  | 23  | 24   | 25   | 26   | 26   | 27    |
| 90           | 1,5 | 18               | 21  | 22  | 23  | 24   | 25   | 26   | 26   | 27    |
| 120          | 2   | 18               | 20  | 21  | 22  | 24   | 25   | 25   | 26   | 26    |
| 180          | 3   | 17               | 19  | 21  | 22  | 23   | 24   | 24   | 25   | 26    |
| 240          | 4   | 16               | 19  | 20  | 21  | 22   | 23   | 24   | 24   | 25    |
| 360          | 6   | 16               | 18  | 19  | 20  | 21   | 22   | 23   | 23   | 24    |
| 540          | 9   | 15               | 17  | 18  | 19  | 20   | 21   | 22   | 22   | 23    |
| 720          | 12  | 15               | 17  | 18  | 19  | 20   | 21   | 21   | 22   | 22    |
| 1080         | 18  | 14               | 16  | 17  | 18  | 19   | 20   | 20   | 21   | 21    |
| 1440         | 24  | 14               | 16  | 17  | 17  | 19   | 19   | 20   | 20   | 21    |
| 2880         | 48  | 14               | 16  | 16  | 17  | 18   | 19   | 19   | 19   | 20    |
| 4320         | 72  | 15               | 16  | 16  | 17  | 18   | 18   | 19   | 19   | 20    |
| 5760         | 96  | 16               | 16  | 17  | 17  | 18   | 18   | 19   | 19   | 19    |
| 7200         | 120 | 16               | 17  | 17  | 17  | 18   | 18   | 19   | 19   | 20    |
| 8640         | 144 | 17               | 17  | 17  | 18  | 18   | 19   | 19   | 19   | 20    |
| 10080        | 168 | 17               | 17  | 18  | 18  | 18   | 19   | 19   | 19   | 20    |

### Parameter für abweichende T und D

#### Lokationsparameter $\xi$ (Xi)

16,39742279

#### Skalenparameter $\alpha$ (Alpha)

6,18950461

#### Formparameter $\kappa$ (Kappa)

-0,1

#### 1. Koutsoyiannis-Parameter $\theta$ (Theta)

0,03935693

#### 2. Koutsoyiannis-Parameter $\eta$ (Eta)

0,76023464

Parameter für dauerstufenübergreifende Extremwertschätzung nach KOUTSOYIANNIS et al. 1998.

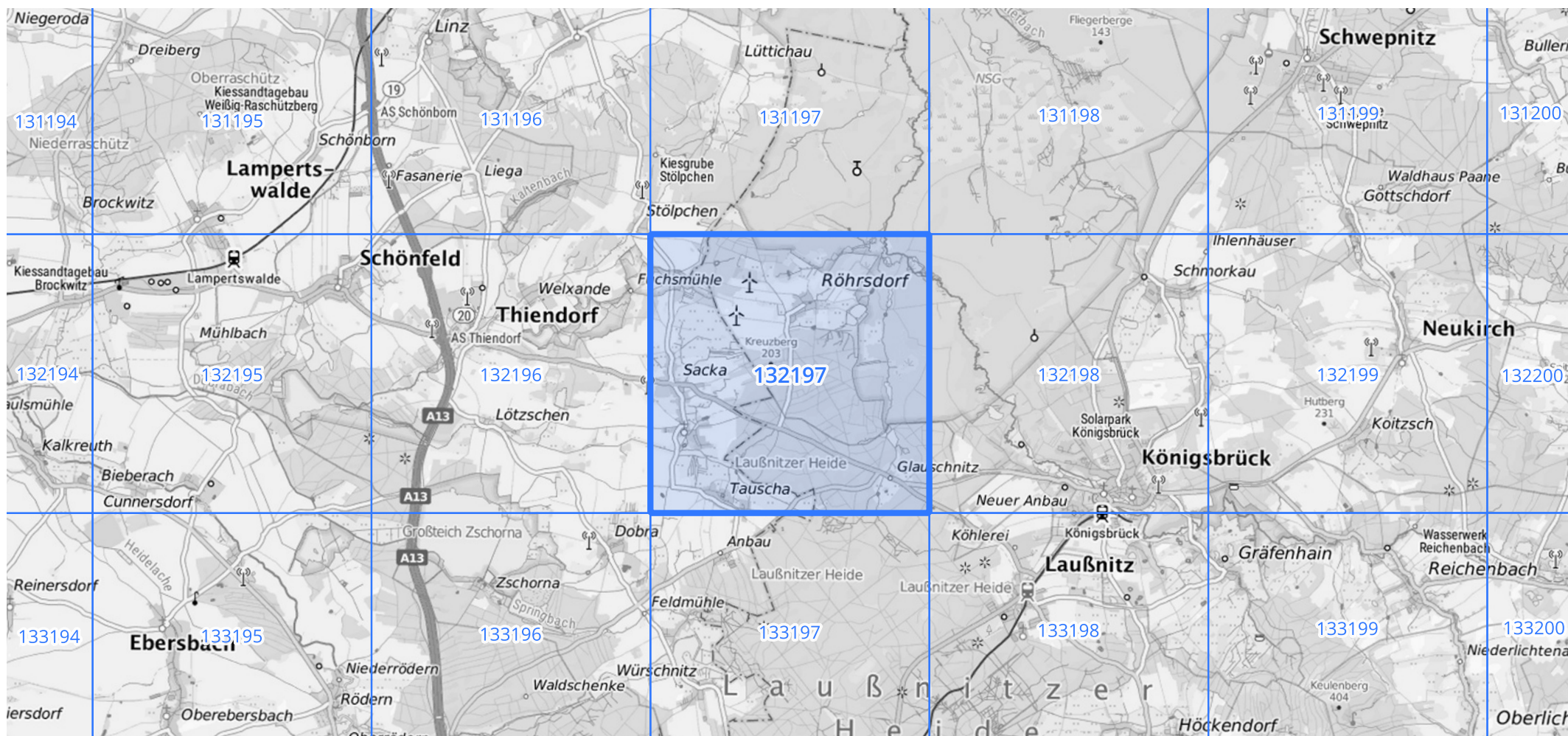
Siehe auch Anwendungshilfe zu KOSTRA-DWD-2020 des Deutschen Wetterdienstes.

# Starkniederschlagshöhen und -spenden gemäß KOSTRA-DWD-2020

## Rasterfeld 132197

(Zeile 132, Spalte 197)

Übersichtskarte des Rasterfeldes 132197, M 1 : 100 000



Quelle Rasterdaten: KOSTRA-DWD-2020 des Deutschen Wetterdienstes, Stand 12/2022.